

目 次

太陽の光球.....	一 柳 誠 一 19
經緯度變化の豫報.....	服 部 忠 彦 23
地球と天體の磁場に關する討論會	27
雜 報	28
地球の自轉速度の變動 アーミー Army Map Service の禮文島日食整約結果	
太陽の爆發現象の分類法 アンタレスの形を掩蔽で觀測	
木星の第 12 衛星 ウルシガラム放送開始	
Positive-Negative	30
會員諸氏の太陽黒點觀測報告	31
2 月 の 天 象	32
表紙寫眞——済和コロナ觀測所に新設された日本光學製コロナグラフ	

本 會 記 事

Publication 発行のお知らせ

本會 Publication Vol. 3, No. 2. が近く發行されます。内容は次のようあります。

Kinetic Temperature of the Chromosphere

..... S. Miyamoto

On the Skewness of the Velocity Curves of the Cepheid Variables

..... T. Dambara

Non-homogeneous Temperature Radiation, and its Application to the Sun. III

..... Y. Suzuki

Effects of the Long Period Tides on the Rotation of the Earth

..... N. Sekiguchi

Electron Temperature of the Chromospheric

Eruption Z. Suemoto

The Determination of the Constant of Nutation from the Latitude Observations

T. Hattori

Note On the Phase Differences Measured in the Six-Color Photometry of Cepheid Variables

..... T. Dambara

天文學普及講座

本會及び國立科學博物館協同主催にて、2月 16 日(土)午後 1 時半より、科學博物館講堂にて、聽講無料

天文ニュース解説 村山定男氏

星雲と宇宙の話 水野良平氏

理 科 年 表

27 年 版

東京天文臺編

A 6 判

600 頁

280 圓

暦・天文・氣象・物化・地學の 5 部門に分も、萩原・和達・小穴・赤松・永田・上田・坪井・河角の諸博士が夫々専門を分擔監修せる、理工學各方面の必要諸常數、諸知識を完全に集約した最も權威ある data-book. 27 年版は新資料に基く刷新版である。

丸 善 對 數 表

普 及 版

ボケツト判

424 頁

280 圓

定評ある「丸善 7 柄對數表」から經緯距を除き、ス タヂア表を加えた堅牢な小型布クロース製の普及版

東京日本橋
江戸橋 2 の 9

丸 善 出 版

振替東京
109981

神 田 茂 著

B 6 判 上製

170 頁

￥160

円 24

天 文 學 概 説

著者が東京理科大學 その他の新制大學に於て天文學を講じつたる經驗から、その程度を參照して、學生の教科書として新しく執筆せるもの。豊富なる挿畫を入れた外、天文學全般に亘つて、記述を要約して適當な参考書を掲げてあるので、教官は擔當時間割に從つて自由に講義を補うことが出来る。高校地學科の参考書としても好適。

荒木著 天文年代學講話 ￥280
俊馬著 24

鈴木著 历 と 迷 信 ￥200
敬信著 24

大森著 最小自乘 法 應用 ￥680
又吉著 50

東京銀座西八の八 恒星社版 振替東京 59600番

太陽の光球

柳 蒜 一*

命題は否定されればそれまでであるが
若し然らざる時は、新たに仕事を始め
なければならない。

—F・ベーコン—

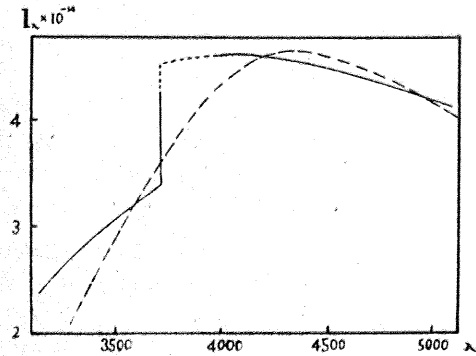
十年近く前に同じ表題で太陽の連續輻射、周邊減光、粒状斑などについて本誌に書いたことがある。そこでこそし自由に豫想を書き込んでおいたのであるが、それらは牛ば當り牛ば外れた。最近十年間の太陽の問題は上層大氣の彩層コロナの研究とその電波輻射の發見とで急速度の展開をしたことは周知の通りである。下層大氣の光球に關係する問題については急速度ではないかやはり確實に研究が進められている。單に輻射論的な研究ばかりでなしに電磁氣學的な考え方が優勢に現われて來たのは新しい事柄である。そして相變らず解決されない問題があると共に、以前は不明であつたものが明かにされた。例えは粒状斑については測光や運動速度の觀測がなされ、また流體力學の新しい亂流理論の適用によつて太陽ばかりでなく一般に星の力學的狀態を知る手懸りが得られそうになつた。從つて光球の問題を短文に一度に書いてしまうことは殆んど不可能事に近い。それでここでは連續輻射についての研究即ち連續スペクトルの強度分布と周邊減光、またそれらを説明する大氣モデルなどの在來の輻射平衡論のとり扱つた問題がどのようになつてゐるかを示そうと思う。大抵みに云え観測的には精度が高くなつたことは當然であるが、同時に研究される波長領域も超赤外部に擴げられ、また極紫外部の方も觀測可能になつて來たことである。光球のモデルはその知識をもとにして他の星の大氣の場合に使つてよい程度には充分明らかにされている。然し乍ら太陽自身の問題とするときには、之が確實だと云えるようなモデル理論はまだ出來上つていない。太陽では精度の高い觀測事實を知るだけに、それらとの僅かの相違と云う厳格なテストにも理論は答えなければならないからである。

X X X X

太陽の場合徐々にではあるが繰返えされ訂正され蓄積された觀測の成果は研究の重要な里程標になつて行くので、いま知れていけるものを簡単に綜合して見よう。太陽面中心の連續スペクトルの強度分布については、Mulders (1935年) の結果が長い間使われていた。

* 東北大天文學教室

これは觀測されたままの強度分布に、重なつて現わされる吸收線による凹みを補正した生地の強度分布を與えたものである。この Mulders の補正の誤りがフランスの學者達によつて訂正された。太陽スペクトルの紫外部には吸收線が澤山集つてゐるが、所々に線のない波長域があつて所謂『窓』と呼ばれている。それらの點を結びつけると殆んど正しい連續輻射の強度分布が得られる。殊に Minnaert などによつて作成出版された太陽スペクトルの圖版 Utrecht Photometric Atlas (1941) を用いると吸收線によつて連續スペクトルの受けた變形を精しく補正出来る。Chalonge, Canavaglia などがこの新しい補正をやつて (1945-50) 第1圖の實線のような變つた結果を得た。破線は Mulders



第 1 圖

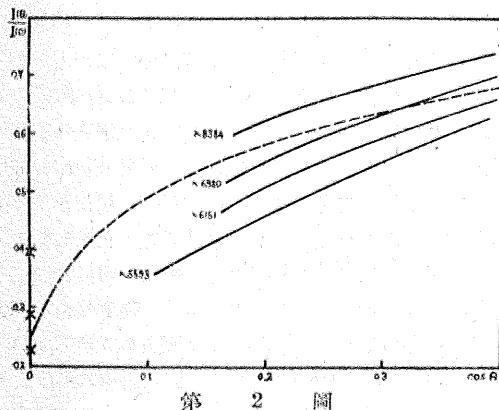
のものである。可視領域では Mulders は正しいのであるが $\lambda 5000 \text{ Å}$ より短波長で相違が現われる。特にバルマー連續吸收の始まる附近 $\lambda 3700 \text{ Å}$ に强度の不連續變化のあるべきことが示された。また Michard (1950) も Pettit の紫外部スペクトルに同様の補正をすると第1圖と殆んど同じ分布が得られることを示した。即ちこの新しい結果は夫々獨立した觀測材料によつて確められたものと云うことが出来よう。强度分布の形を色溫度で表わすと $3700-7000 \text{ Å}$ の範圍が 7150° , $3150-3700 \text{ Å}$ の範圍が 5900° になつて何れも有效溫度より高い。Mulders の場合、前者は同じであつたが後者は 4850° であつた。バルマー飛躍の強さを示すには $\lambda 3700 \text{ Å}$ の長波長側の强度と短波長側强度の比の對數を使う習慣になつてゐる。太陽でその値は 0.123 になり約 30% の强度飛躍があることになる。バルマー飛躍は A0 型星で極大になり、スペクトル型の進むと共に小さくなつて太陽では今まで確められてゐなかつたものである。

中心強度の赤外部は 23000Å (2.3μ) 迄しか観測されていないが、Mulders の $1.5\text{--}2.1\mu$ の範囲は精度が疑問視されていた。最近フランスの Haute Province 天文臺で Peyturaux (1950) によつて Mulders のこの範囲の結果が大きすぎること例えば 2.0μ では 30% 許り大きいことが測定された。この點の重要性はのちに吸収係数の問題を考えるとき明かになろう。

× × × ×

周邊減光の Abbot などの観測は $\lambda 3737\text{--}20970\text{Å}$ の範囲で、太陽面中心から半径の 97% の所までに止っていた。少數の皆既日食観測では 99.5% 位から端までが調べられていた。この兩者の間隙をうすめて同時により廣い範囲の波長域に對する観測が期待されていたのであるが、最近フランスとアメリカとで組織的な観測が相次いで行われた。Peyturaux (1950) は $\lambda 6700\text{--}23000\text{Å}$ で半径の 98% のところ迄全體で 15 個の波長に對して観測した。特に $1\text{--}2.3\mu$ の間は地球大氣の水蒸氣、炭酸ガスの吸収帶に占領されていて Abbot では 4 個の波長のみの測光であつたが、所謂窓をとらえて 12 個の波長に對して測光をやつた。減光の模様は大體 Abbot と一致するが概してはじめより緩かに、周邊でより急に減光する。一般に減光は波長と共に弱まるのであるが 2μ をこえた點では再び減光が強くなる事實が認められた。

一方 McMath Hulbert 天文臺の Pierce, Goldberg 及び Mohler (1950) は $5485\text{--}22870\text{Å}$ の間で 10 の波長に對して半径の 98.7% 迄、更に始めての記録で



第 2 圖

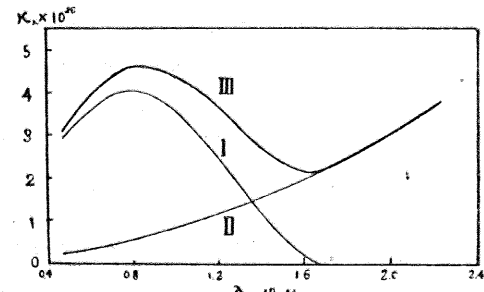
あるが超赤外部の $3.5, 8.3, 10.2\mu$ の三つについて 97.6% のところ迄観測した。第 2 圖で右上の三曲線はこれらの結果の一例である。 $\cos \theta = 0$ で十字で示したもののは後に述べる (3) 式から求めた夫々の外挿値である。その下部の $\lambda 5593\text{Å}$ は Minnaert (1949) がヤーキスの 40 時で撮つた結果でお互に類似の變化を示している。紫外部については連續スペクトルの變

形のために今まで餘り観測がなかつた。Chalonge-Canavaggia (1943) は $\lambda 3149\text{--}3692\text{Å}$ の間の窓 26 ケについて 97.5% まで観測をやつた。これらは戦時中の観測で不備な條件の下で行われたので、観測者達はその精度を餘り高く評價していないが、重要な記録であろう。

日食時の周邊減光の観測は完全に端まで達し得るので極めて重要であるが発表されたものは小數で Wesselink, 大澤博士, ten Bruggencate などのものがある。観測の整約に種々困難な點があつてお互に少し違う結果が得られている。一例として部分食を利用した $\lambda 6400\text{Å}$ に對する ten Bruggencate (1950) の結果を示すと圖で一番端まで書いたものがそれである。周邊減光の組織的観測相互の間に系統的相違のあることは屢々指摘されたことであるが、その原因について又それと所謂太陽活動との關係の有無については何もまだ明かにされていない。

× × × ×

以上の観測結果を説明する大氣理論を一舉に作ることは出來ないので、先づ観測から歸納的に観測的モデルを求めるのが順序であろう。輻射強度を定める主な要素は大氣物質の吸収係数と大氣の温度分布である。太陽大氣の吸収係数が水素負イオンによることは、はじめ Pannekoek が推測し、のちに Wildt (1939) が強調したところである。これを確めるためには水素負イオンの吸収係数を精確に計算し観測と較べて見ることが絶対必要である。水素負イオウの束縛一自由(第 3 圖の I)自由一自由(II)遷移の連續吸収の量子力



第 3 圖

學的計算は 1945-6 年に亘つて Chandrasekhar などによつてすつかりやり直された。波長に對する變化は第 3 圖の III のように $\lambda 8000\text{Å}$ 位で極大、 1.6μ 附近で極小になり超赤外部に向つて増加する傾向を示している。從來吸収係数に關係するひとつの問題は中心強度分布と周邊減光とを同一吸収係数の値によつて説明出来ないことがあつた。水素負イオンの吸収係数が正しければ兩者を同時に説明出来なければならない筈である。温度分布の問題をひと先ず置いて吸収係数の正否

のクライテリオンをやるひとつの方法を Chalonge-Kourganoff (1946) が出した。

太陽面上の中心角 θ のところで波長の輻射強度 $I(\theta)$ は $B(\tau)$ を波長に對する光學的深さのプランク函数とするとき次式で與えられる。

$$\varphi(\theta) = \frac{I(\theta)}{I(0)} = \frac{1}{I(0)} \int_0^\infty B(\tau) e^{-\tau \sec \theta} \sec \theta d\tau \quad \dots \dots \dots (1)$$

左右兩邊を共通の量、中心強度 $I(0)$ でわつた形で式を書いた。この式は左邊の $\varphi(\theta)$ は周邊減光の觀測から $I(0)$ は中心強度でいづれも既知である。それと深さによる溫度分布を示す未知量 $B(\tau)$ との關係を示している。右邊に中心強度 $I(0)$ が直接入つている。それでいま觀測された $\varphi(\theta)$ を例えれば

$$\varphi(\theta) = A + B \cos \theta + C \cos^2 \theta \dots \dots \dots (2)$$

の如く書き表わすと

$$\frac{B(\tau)}{I(0)} = A + B\tau + \frac{1}{2} C\tau^2 \dots \dots \dots (3)$$

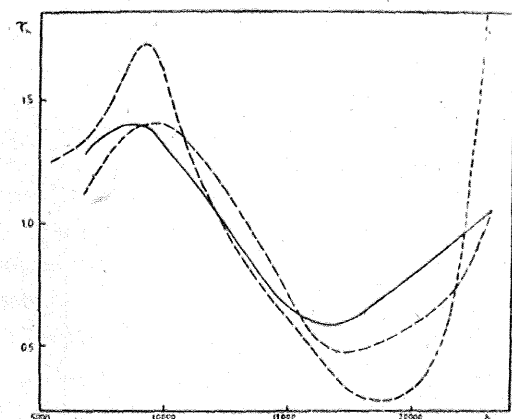
になる。 θ についての觀測値 $\varphi(\theta)$ を (2) に入れて最小二乘法によつて常数 A , B , C を波長別にきめると實際觀測誤差の範囲内でこれらを決定出来る。 $B(\tau)$ はプランク函数であるから溫度 T に一定値を入れればその値は定まる。従つて (3) を解いて或る一定溫度の層の光學的深さ τ を波長別に觀測的に決めることが出来る。ところで τ は吸收係數 K_λ に密度 (ρ) をかけて深さ (h) について加算したものである。いま種々の溫度に對する τ を觀測的に知ることが出來たのであるから直ちに次式の左邊の量を計算することが出来る。

$$\frac{d\tau}{dT} = \rho \frac{dh}{dT} K_\lambda - a(T) K_\lambda(T) \dots \dots \dots (4)$$

即ち τ ではなく $d\tau/dT$ が K_λ に比例することが判る。もし理論的吸收係數が正しければ觀測値 $d\tau/dT$ と $K_\lambda(T)$ のグラフをかくと、それらは一定溫度に對して原點を通る直線になる筈である。實際 $\lambda 4000\text{\AA}$ より長波長でこの關係は充されてグラフの勾配として $a(T)$ が決まる。従つて次に $a(T)$ と Chandrasekhar の K_λ とを用いて表面から考る溫度 T までの光學的深さ τ を計算し、先きに觀測から決めた τ と較べることによつて吸收係數の正否を判定出来るわけである。

この方法は既に古く輻射平衡論の始まつた頃 Lundblad などの考えたものであるが、吸收係數が理論的に知れるようになつてその有效性を回復したわけである。ただこの方法を應用するに當つて、使用する觀測材料の良否精度が極めて微妙に結果に利いて来るようである。Chalonge-Kourganoff は $\varphi(\theta)$ は Abbot, $I(0)$ は Mulders を用いて 1.6μ より赤外部で Chandrasekhar の計算値が 30% 許り大きすぎることを結論した。反対に $\varphi(\theta)$, $I(0)$ 共に Peyturaux の觀

測を組合せると、この偏差は大分消えて来て 2.2μ 近では數 % の違ひしかないことが云える。また若し Mulders と McMath などの觀測を組合せると第4圖でとび出た破線の示すような食い違ひが現われる。第4圖には理論値が 2.2μ 近はよく合うと云う Peyturaux の結果(實線は理論的 τ , 破線は觀測)を示したが、丁度 1.6μ 附近で極小が現われている。次に超赤外 $3.5-10\mu$ では中心強度の測定を缺くため上の方法を直接適用出来ない。然し赤外部を説明出来るモデルを用いて周邊減光を計算すると Chandrasekhar の吸收係數が小さすぎると云う以上とは逆の結論を導



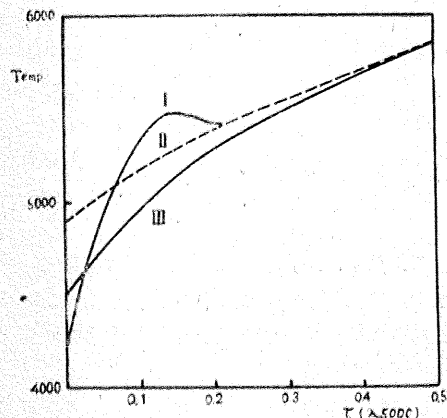
第 4 圖

き出せる。然し乍ら超赤外に就ては吸收係數の計算をやり通すか或は以上の結論を出すに用いたモデルが不完全であるか或はまた觀測自身唯一回りなので更に繰返す必要があるが恐らく何れも必要であろう。

これらの比較から太陽での連續吸收は水素負イオンによるのであつて細かい點を除いて觀測を大體よく説明出来ると云つてよいであろう。従つて次に吸收係數を一應正しいと假定して逆の問題即ち溫度分布を調べることが出来る。大氣が完全輻射平衡でないことは種々の面から云われるので溫度分布を觀測的に決めることは極めて重要な研究である。(3) の式で既にこの關係は示されているのであるが(3) 式は表面 $\tau=0$ の溫度を勝手に選んでなお且つ周邊減光を觀測誤差内で表わせるような展開式を作ることが出来るので、表面近傍の溫度をこれが正しく與えると直ちに結論することは出來ない。また τ の大きいところでも(3)は成立しなくなる。然しある深さから始まる限られた範囲の溫度分布は、之によつて表わされていると見做すことは出来る。表面の溫度分布は(3)から判るように $\cos \theta \approx 0$ 附近の $I(\theta)$ と密接に關係する。従つてこの部分の溫度を決めるには完全に端までやれる日食時の觀測が必要になるわけである。

周邊減光の観測から温度分布をきめる試みは、前に Plaskett (1936) が $\lambda 5500\text{Å}$ の輻射についてやり $\tau = 0.6 - 1.4$ の間に等温層の在ることを示したが決定的なことは云えなかつた。これらの點は今日も尙同様で観測的歸納や理論的立場からお互に似たりよつたりの多數の温度分布が得られて、その何れが正しいかを斷定することは容易でない。

前述の ten Bruggencate などが Plaskett の方法で求めた温度分布を第5圖に示した。吸收線の研究から最上層は可成り低温度であることが要求されているが、圖の結果は表面温度 4400° で同じ傾向を示している。次いで急に上昇して $\tau \approx 0.1$ で極大温度 5400° に達し、 $\tau \approx 0.2$ で極小 5300° が現われる。最上層で温度の反轉がその確らしさは別として兎も角認められたのは面白いことである。圖の破線 II は輻射平衡論の温度、III は周邊減光の観測値 ($\lambda 5000$) から導いたものである。第2圖で極端に於ける外挿値を十字で記入して



第 5 圖

おいたがそれらの強度分布を温度で示すと大體 4500° になり一應表面の低温度を指向していることが判る。

以上の観測的モデルを導くときになお考えるべき問題がある。それは太陽面上の位置として吾々の判断する角度 θ についてである。大氣による光の屈折について地球大氣の氣差で周知のことである。太陽についてもこの屈折、曲率の影響が黒點の位置決定などに關係して論じられたことがあるが最近 Proisy (1949) によつて精しい計算が行われた。これは豫想できるよう周邊減光に及ぼす影響は極めて小さく、凡そ半径の 99.95% より端の方で數% $I(\theta)$ を變えればよい。

次に太陽大氣は完全につるつるの平面の重りではなく粒状斑の示すような運動状態にあつて、從つて面の凹凸を考えるべきであることが Redman (1943) によつて指摘されている。粒状斑の大きさ、運動を手懸

りにして、いま表面は高低の小さいゆるやかな波状形をなしていると考えると、完全平面の時に θ の方向と判断したものは實際の波状面との切口では θ より小さくなる筈である。即ち測定した輻射強度はより小さい θ に對應することになる。從つて周邊減光は觀測したままよりも急であること、表面温度を低くしなければならぬことが云える。

Redman の計算例によると觀測値 $\theta = 87^\circ$ ($\sin \theta = 0.999$) は訂正値 $\theta = 78.4^\circ$ ($\sin \theta = 0.976$) でおきかえねばならない。勿論種々の凹凸が重なると考えて訂正値は平均的意味に考えるべきである。然し乍らこの凹凸 Roughness の度合については未だ多くを將來の研究にまたなければならない。

× × × ×

觀測的モデルによつて大氣狀態が部分的に判つて來るとそれを手懸りにして理論的モデル大氣を構成する仕事が始まる。化學組成や吸收係数を假定し釣合いやエネルギー移動の條件を定め、大氣の温度壓力分布等を計算し、すべての觀測事實を説明しようと云う仕事である。種々のモデルを比較批判することは、豫定の紙數も終りに近付いたので省略して要點だけに止めよう。

ここでは、今まで全く觸れる必要のなかつたいくつかの物理的機構を理論的に研究しなければならない。ひとつは Blanketing 效果である。多數の吸收線によつて輻射の一部は光球内に送り止められてその温度を上げると考えてよい。線スペクトルの吸收するエネルギーは最近訂正されて Mulders の値よりも大きくなり全輻射の 72% と見積られている。

他のひとつは内部の對流層の問題である。對流層の始まる深さ、對流層のなかで對流と輻射によつてエネルギーがどのように傳えられるかによつて大氣構造は影響される。上層を輻射平衡としその下方に對流層を置くのは動かない考え方で、このようなモデル理論は之まで多く試みられまた現に試みられつつある。そして光球構造の大綱は殆んど明かにされているのであるが、更に一步すめるためにはやはりここには述べなかつた多くの副次的問題を解決しなければならないのが現状である。

(1951, XII 12)

經緯度變化の豫報

服 部 忠 彦*

1. 序 地球の自轉軸が地球に固定された座標に對する運動、所謂極運動、それによつて起る各地の經度及び緯度の變化は通常豫測され得ないものと考えられている。いわば大海にただよう小舟が波の間に間にあちこち動いている様なものである。併しながらこの比喩は極端に過ぎるのであつて、實際には必ずしもそれ程不規則なものではない。現在説明のついている周期的變化は、地球の自由章動によつて生ずる約 14 カ月の變化、所謂 Chandler 變化と、大氣壓、積雪量等の年周周期の強制振動である。年周變化は年によつてそれ程著しい變化はない様に見受けられるが、Chandler 變化は見かけ上その振幅、位相の變化がかなり大きく、又特にある時期に位相に突然のずれを生じたり、周期そのものが突然に變化する様にさえ見られる。その爲に將來どの様な極の運動をするかという質問に對しては分らないと答えるのが一番無難であろう。所が報時關係或は野外に於ける經緯度觀測の際に極運動の豫想が必要な場合が屢々起る。のみならず現在の萬國共同觀測の性質上、極運動の成分 x, y が計算されて發表されるのは早くとも現在より 1 年か 2 年のことになるのは止むを得ない。現在(1951 年 11 月 30 日)水澤に於ける緯度の値は 11 月 5 日までの分が既に計算済であるが、 x, y の分つてているのは 1950. 3 年までである。従つて 1950 年の後半年と 1951 年度に觀測された經緯度に對しては極運動による補正をすることが出来ない。併し前にも述べた様に極の運動は必ずしも全然不規則なものではないから現在まで知っている x, y の値と、最近まで觀測された水澤の緯度の觀測値から近い過去又は將來に對して極運動の値を知ることが出来るかどうか、どの程度の精度で豫測出来るかというのがこれから述べたいと思う問題である。

2. 木村式による極運動の豫報 極運動を豫報するのに過去の變化を解析してそれを將來に押し進めるというごく普通の方法をとるわけであるが、これが仲々厄介な仕事である。萬國共同緯度觀測事業が始まってから 50 年餘、多くの人々によつて極運動の解析が爲されたが、その大部分は年周變化、Chandler 變化、それに二三の周期項をつけ加えたに止まる。殊に最初の二項以外は研究者によつて意見がまちまちであつてある人はこの二項以外は實在性がないと考え、ある人

は實在のものであると考える。たとえ實在のものであるとしてもその物理的説明が全然つかないといった現状である。併し將來の豫報をしようといふ場合にはその物理的意味をはなれて、過去の結果によく合うような解析の結果を將來に押し進めるといった方法は確かに一つの有力な方法に違いない。

木村先生は萬國共同緯度觀測の 1900 年から 1940 年までの結果を解析して十數箇の周期項をとり出して居られる。この結果は “Proceedings of the Japan Academy, XIX, p. 510 (1943)” に發表されて居りなお筆者が日本天文學會編 “天文學の概観 (1940-1945)” 14 頁に紹介しているから、ここにはその式を省略する。要するに極の x, y 成分について夫々十數箇の周期項を使用し、而も Chandler 變化に對してはその振幅が周期的に變化するとして 40 年間の x, y に最もよく合うような式を出したのである。そこで我々は今これを一つの手掛として將來を推す第一歩としようと思う。この豫測値と 1940 年以後の觀測値がどれ位喰い違つて來ているかを見るのであるが、この觀測値として今採用したのは

(1) 1940. 0—1946. 9

Transactions of the International Astronomical Union, Vol. VII, 1950, p. 197, Table XI. にある Carnera の計算した値

(2) 1947. 0—1948. 8

Rend. dell'Accademia delle Scienze Fisiche e Metematiche della Società di Scienze, Lettere ed Arti, Serie 4^a, Vol. XVI (1949), p. 46 にある Carnera の結果

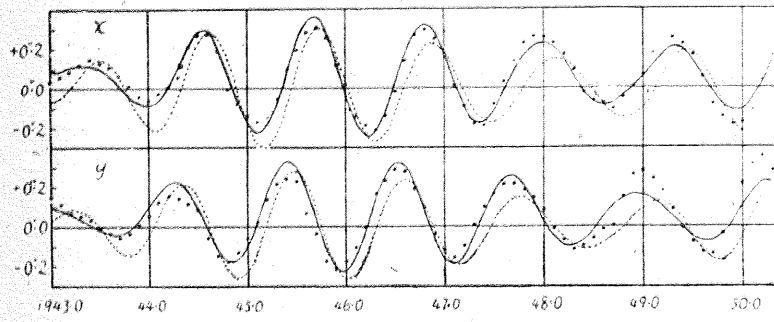
(3) 1948. 9—1950. 3

Bulletin géodésique, No. 17, Septembre 1950, p. 357, Tab. XVII, に掲げられた Cecchini の結果から取つた。但し (1), (2) は Carnera の system であり (3) は Cecchini のであつて、各觀測所の採用平均緯度が違うので、これを統一するため (3) に對して $\Delta x = -0.^{\circ}018$, $\Delta y = -0.^{\circ}033$ の補正をして全體を Carnera の system に直した。

第 1 圖に 1943 年以降の豫測値と觀測値とを示してあるが、0.1 年毎の點は觀測値であり、點線は前述の木村式による豫測である。見方によつてはある程度までよく合つているとも考えられるが、時によつて $0.^{\circ}2$ を越す差が現れることがある。振幅が僅々 0.3 秒程度

* 水澤緯度觀測所

の緯度変化に對してこの差は少し大き過ぎる。であるからこのまま將來を推すということは少し冒険に過ぎるようである。所がこのO-Cを見ると主として1.2年の周期を持つた Chandler 変化であることが分る。そこで周期1.2年を以てこのO-Cを解析し木村式の補正を求めて見る。



第 1 圖

極運動成分。點線は木村計算値、實線は修正計算値、點は觀測値
上は x 成分、下は y 成分

3. 木村式に對する第1次補正 木村式による豫測値と觀測値のずれは1943年以降特に著しいので1943.0から1953.0年までのO-Cを周期1.2年によつて解析して次の結果を得た。

$$\begin{aligned} \Delta x &= +0.^{\circ}053 + 0.^{\circ}108 \sin(2pt + 90^{\circ}) \\ &\quad + 0.^{\circ}010 \sin(2pt + 234^{\circ}) \end{aligned}$$

$$\Delta y = +0.^{\circ}053 + 0.^{\circ}098 \sin(pt + 173^{\circ})$$

ここに t の元期は1943.0年である。 Δy の $2p$ の係數は殆ど0となり位相がきまらないので省略した。

上式による補正を加えたものが第1圖の實線であつて、實測値とかなりよく合うようになり、實用上殆どこれで差支ないようである。併し更によく見ると1948.7年頃に突然の變化が起り、その後は振幅が大きくなつて豫測値より外れて來るようである。故にこのままでは將來に對して多少の不安が殘る。けれども殘念乍ら現在我々の持つている x, y の材料は1950.3年までであつて1948.7年以降の變化をはつきり摑むには材料が少し足りない。一方水澤に於ては緯度変化的結果が1951.8年まで分つてゐるので、この材料をもとにして何とか1950.3年以後の x, y 値が推測出来ないだらうかといふ問題に移るのである。

4. 水澤の緯度變化からの第2次補正 少くとも二箇所、 z を考えると三箇所の共同緯度觀測がなければきまらない x, y を一箇所の値から推測しようといふのであるから、ある程度大膽な假定が必要である。そこで今までの経験から

(1) 極運動のうち年周變化はその振幅、位相共に變らない。

(2) Chandler 変化は振幅のみ變り、周期と位相は變化しない。

と考える。こう假定すれば x, y のうち Chandler 変化のみを考えればいいのでこれを

$$\begin{aligned} x &= A \sin(pt + q) \\ y &= B \cos(pt + q) \end{aligned} \quad \dots \dots \dots (1)$$

なる橍圓運動であると考える。

そうすれば今の考え方によつて變化するのは A, B のみであるからある觀測所の緯度變化の實測値と豫測値との差は

$$\begin{aligned} \Delta\varphi &= \Delta x \cos\lambda + \Delta y \sin\lambda \\ &= \Delta A \sin(pt + q) \cos\lambda \\ &\quad + \Delta B \cos(pt + q) \sin\lambda \end{aligned} \quad \dots \dots \dots (2)$$

となる。

今ある觀測所の緯度のO-Cを解析して

$$\Delta\varphi = \Delta C \sin(pt + r) \quad \dots \dots \dots (3)$$

なる形のものが得られたとすれば(2)と(3)とを比較して

$$\Delta A = \frac{\Delta C \cos(r - q)}{\cos\lambda}, \quad \Delta B = \frac{\Delta C \sin(r - q)}{\sin\lambda} \quad \dots \dots \dots (4)$$

として A, B の補正が求められる。

水澤で觀測された緯度は各星群の月平均値に、筆者が1942.7-1949.7の水澤だけの材料から求めた各星群に對する赤緯補正(第1表)をほどこして月平均緯度を求め、これを圖によつて0.1年毎の値を読みとつたものを觀測値として採用した。萬國共同觀測から計算された赤緯補正值はCarneraによつて發表されているが、ここに水澤だけからの値を探つた理由は水澤

第1表 赤緯補正

星群	赤緯補正	の局地的の變化を考えに入れた からである。この値を探すこと によつて、局地的 z 項採用した micrometer の値の誤差等を一 應取り去つた水澤の緯度の値が 得られると考えたからである。
IV	-."024	又 Carneraの syst.m にするた め水澤の平均緯度として $39^{\circ}8'$
V	+"112	
VI	-.056	
VII	+"045	
VIII	+"043	
IX	+"122	
X	+"015	
XI	-.086	
XII	-.092	3."507 を採用して、これを引 き去つたものを實測値とした。
I	-.070	
II	+"122	
III	-.137	豫測値としては木村式に第1次 補正をした x, y をとつて

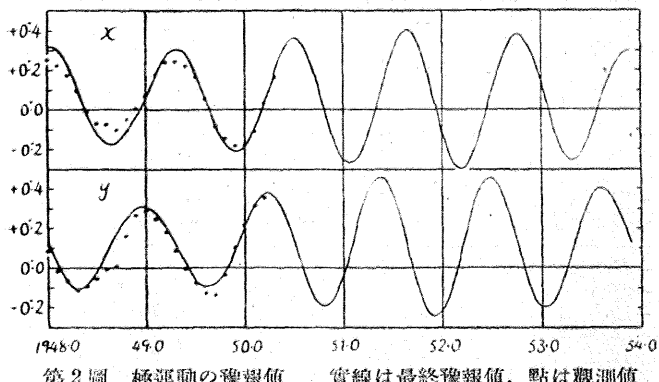
$$\varphi = x \cos\lambda + y \sin\lambda$$

によつて水澤の緯度を計算した。1948.3-1951.8の水澤の緯度のO-Cを解析して

$$\Delta\varphi = -0.^{\circ}064 + 0.^{\circ}094 \sin(pt + 214^{\circ})$$

を得た。ここに t の元期は前と同じく 1943.0 をとつてある。(4) 式に於て $\Delta C = 0.^{\circ}094$, $r = 214^{\circ}$, $\lambda = -141.8^{\circ}$ とし、なお $q = 0^{\circ}$ として大體差支ないから $\Delta A = +0.^{\circ}100$, $\Delta B = +0.^{\circ}084$

が求められる。ここに一つ問題になるのは常數項である。水澤の平均緯度が $0.^{\circ}064$ だけ南にずれたことを意味するが、これをどの程度を x に歸し、他を y に歸すべきかは全然分らない、併し第 1 回の實線と觀測



第 2 圖 極運動の豫報値 實線は最終豫報値、點は觀測値

點から考えて、その大部分が y に歸すべきであろうと考えた。つまり

$$\Delta x = 0.^{\circ}100 \sin(pt + q),$$

$$\Delta y = -0.^{\circ}064 + 0.084 \cos(pt + q)$$

として、この補正をしたものを x , y の最後の豫報値として採つたのである。これが第 2 圖の實線であり、0.1 年毎の觀測値と比較すれば 1948.7 年以後はかなりよく合つている。細かい點を見るとまだ色々な問題が残るが、ここでは一先づこの x , y を以て將來の豫報としたのである。これが第 2 表の第 2, 3 行に掲げてある。觀測値と O-C は space の都合上別に第 2 表に掲げておいた。

5. 水澤の緯度變化, Washington—東京の經度變化 第 3 圖の上段は前述の様にして出した x , y から水澤の緯度變化を 1953.9 年まで豫想したものであつて、第 1 表の第 4 行を圖示したものである。0.1 年毎の點は實測値である。又下段はこの極運動から豫想される Washington—東京の經度差の變化である。夫々の經度を λ_W , λ_T とすれば

$$\lambda_W = (\lambda_W)_0 + (x \sin \lambda_W - y \cos \lambda_W) \tan \varphi_W$$

$$\lambda_T = (\lambda_T)_0 + (x \sin \lambda_T - y \cos \lambda_T) \tan \varphi_T$$

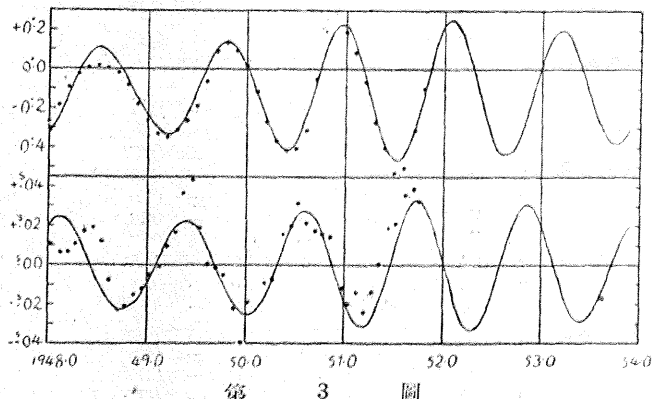
の差をとり

$$\Delta\lambda = \lambda_W - \lambda_T$$

$$= \Delta\lambda_0 + x(\sin \lambda_W \tan \varphi_W - \sin \lambda_T \tan \varphi_T) \\ - (y \cos \lambda_W \tan \varphi_W - \cos \lambda_T \tan \varphi_T)$$

であるから x , y の計算値を入れて $\Delta\lambda$ を出した。これが第 2 表の最後の行の値である。ここに $\Delta\lambda_0$ は考えに入れていない。又觀測點は東京天文臺の "Time Signal Correction Sheet" から NPG の受信値を取りその月平均をとつたものである。第 3 圖を見ると 1948 年の前半年は一寸おかしいが 1948.7 年以後はかなりよく合つて居り、將來に對してもある程度の目安がつけられると思う。1948 年の變化に對しては非常に興味のある問題が起つてくるがここでは觸れないことにする。經度變化については緯度觀測所の高木技官の手を煩し、東京天文臺の宮地教授に檢閲して頂いた。ここにお禮申上げる次第である。

6. 將來に對する見通し 第 2 表には 1953.9 年までの x , y の豫測値が掲げてあるが、これは木村式による計算がここまで木村先生並に池田現所長の手によつて完成されていたからである。併し 2 年先のことは筆者の感じから云うと餘り自信が持てないのである。1950.3 年以後の値が中央局から發表され、又水澤の緯度がもう少し先まで分つた後にもう一度修正を加えて發表する機會もある。所で我々は今 1953.9 年までの豫測が出來たのは木村式による



上：水澤の緯度變化、下：ワシントン—東京の經度差
實線は豫報値、點は觀測値

計算がこの期まで出來ていたから割合に簡単に出來たのであつて、1954 年以後はどうするかという問題が残る。振幅の變化する項を含んだ十數箇の周期項を計算して、而もそれに對して第 1 次、第 2 次の補正をして行くというのは大變な手數である。寧ろ最近の數年間の觀測値を毎周變化と Chandler 變化によつて解析して 1 年か 2 年先に推して行つた方が計算の經濟の様

第2表 計算による豫報値

	x	y	φ	W-T ms		x	y	φ	W-T ms
1948.0	+. "314	+. "134	-. "329	+19.9	1951.0	-. "250	-. "031	+. "214	-19.4
.1	+. 304	+. 017	-. 249	+24.6	.1	-. 268	+. 145	+. 118	-29.3
.2	+. 232	-. 070	-. 137	+22.8	.2	-. 192	+. 323	-. 053	-31.6
.3	+. 112	-. 108	-. 019	+14.6	.3	-. 047	+. 437	-. 237	-24.8
.4	-. 017	-. 086	+. 067	+2.7	.4	+. 136	+. 459	-. 394	-10.6
.5	-. 118	-. 020	+. 105	-8.9	.5	+. 296	+. 377	-. 468	+6.7
.6	-. 171	+. 073	+. 087	-17.8	.6	+. 394	+. 210	-. 439	+22.9
.7	-. 173	+. 171	+. 028	-22.7	.7	+. 388	+. 011	-. 309	+32.0
.8	-. 117	+. 248	-. 065	-21.7	.8	+. 274	-. 156	-. 115	+30.4
.9	-. 044	+. 300	-. 154	-18.1	.9	+. 086	-. 236	+. 081	+18.5
1949.0	+. 056	+. 306	-. 236	-10.0	1952.0	-. 110	-. 210	+. 218	+. 0.9
.1	+. 168	+. 275	-. 304	+. 0.9	.1	-. 255	-. 081	+. 250	-17.4
.2	+. 261	+. 206	-. 332	+11.9	.2	-. 299	+. 110	+. 164	-30.3
.3	+. 304	+. 115	-. 309	+19.9	.3	-. 231	+. 3.1	-. 009	-33.7
.4	+. 281	+. 025	-. 235	+22.3	.4	-. 085	+. 430	-. 204	-27.7
.5	+. 190	-. 071	-. 103	+19.3	.5	+. 096	+. 456	-. 361	-13.8
.6	+. 066	-. 091	+. 006	+9.9	.6	+. 256	+. 382	-. 439	+3.1
.7	-. 068	-. 079	+. 113	-1.9	.7	+. 364	+. 228	-. 427	+19.6
.8	-. 169	-. 015	+. 131	-13.4	.8	+. 373	+. 043	-. 318	+29.1
.9	-. 208	+. 086	+. 108	-21.5	.9	+. 288	-. 115	-. 152	+29.6
1950.0	-. 190	+. 209	+. 017	-25.9	1953.0	+. 181	-. 197	+. 022	+20.4
.1	-. 099	+. 315	-. 121	-23.4	.1	-. 047	-. 180	+. 150	+4.7
.2	+. 029	+. 373	-. 257	-15.5	.2	-. 191	-. 078	+. 198	-12.3
.3	+. 181	+. 361	-. 368	-2.2	.3	-. 253	+. 082	+. 146	-25.1
.4	+. 306	+. 278	-. 413	+12.3	.4	-. 213	+. 243	+. 013	-29.4
.5	+. 362	+. 140	-. 370	+23.7	.5	-. 099	+. 360	-. 149	-25.5
.6	+. 314	-. 018	-. 234	+27.2	.6	+. 045	+. 403	-. 288	-15.5
.7	+. 197	-. 143	-. 063	+23.3	.7	+. 182	+. 364	-. 371	-2.2
.8	+. 024	-. 194	+. 103	+11.3	.8	+. 273	+. 259	-. 376	+10.5
.9	-. 142	-. 157	+. 210	-4.4	.9	+. 297	+. 121	-. 307	+19.1

第3表 x, y の観測値

	x		y	
	O	O-C	O	O-C
1948.0	+. "251	-. "063	+. "082	-. "052
.1	+. 224	-. 080	-. 015	-. 032
.2	+. 170	-. 062	-. 063	+. 007
.3	+. 090	-. 022	-. 113	-. 005
.4	-. 028	-. 011	-. 096	-. 010
.5	-. 070	+. 048	-. 058	-. 038
.6	-. 075	+. 096	-. 010	-. 083
.7	-. 104	+. 069	+. 006	-. 165
.8	-. 049	+. 068	+. 160	-. 088
.9	+. 002	+. 046	+. 261	-. 039
1949.0	+. 068	+. 012	+. 283	-. 023
.1	+. 178	+. 010	+. 245	-. 030
.2	+. 238	-. 023	+. 179	-. 027
.3	+. 242	-. 062	+. 087	-. 028
.4	+. 220	-. 061	-. 003	-. 028
.5	+. 166	-. 024	-. 073	-. 002
.6	+. 054	-. 012	-. 128	-. 037
.7	-. 082	-. 014	-. 137	-. 058
.8	-. 148	+. 021	-. 035	-. 020
.9	-. 184	+. 024	+. 103	+. 017
1950.0	-. 176	+. 014	+. 219	+. 010
.1	-. 110	-. 011	+. 314	-. 001
.2	+. 036	+. 007	+. 351	-. 022
.3	+. 164	-. 017	+. 281	-. 080

第4表 水澤緯度観測値

	水澤緯度		水澤緯度		
	O	O-C	O	O-C	
1948.0	-. "265	+. "064	1950.0	+. "018	+. "001
.1	-. 186	+. 063	.1	-. 116	+. 005
.2	-. 095	+. 042	.2	-. 270	-. 013
.3	-. 030	-. 011	.3	-. 368	-. 000
.4	+. 003	-. 064	.4	-. 415	-. 002
.5	+. 012	-. 093	.5	-. 408	-. 038
.6	-. 000	-. 087	.6	-. 312	-. 078
.7	-. 024	-. 052	.7	-. 054	+. 009
.8	-. 088	-. 023	.8	+. 191	+. 088
.9	-. 182	-. 028	.9	+. 275	+. 065
1949.0	-. 266	-. 030	1951.0	+. 186	-. 028
.1	-. 333	-. 029	.1	+. 085	-. 033
.2	-. 350	-. 018	.2	-. 065	-. 012
.3	-. 313	-. 004	.3	-. 275	-. 038
.4	-. 266	-. 031	.4	-. 405	-. 011
.5	-. 190	-. 087	.5	-. 536	-. 068
.6	-. 065	-. 071	.6	-. 507	-. 068
.7	+. 094	-. 009	.7	-. 318	-. 009
.8	+. 132	+. 001	.8	-. 100	+. 015
.9	+. 093	-. 015	.9	—	—

に思う。今の場合にも実際にこの方法でやつて見たが結果は餘り違ないのでここに書くことは差控える。もう一つ緯度変化の豫報について注意しなくてはいけないのはある時期に Chandler 変化の位相、振幅に突然の變化が起ることである。過去 50 年の経験によればこの突然の變化は年周變化と Chandler 変化が消し合つて緯度の變化が非常に小さくなつた時に多く起つている。この時期は次には 1954 年にあたるが、この點については全く豫想がつかない。ただ 1954 年の豫報はかなり注意していくなくてはならないということが云えるだけである。我々は絶えずこの突然變化を見守つているから緯度変化について近い将来の豫想が必

要な場合には、その時期に於ける最良の豫報を計算して差上げるのに資かないから遠慮なく御申越頂きたい。併し大ざっぱな計算、野外に於ける經緯度観測に對する假の補正、長い間観測がなくて報時をどうするかという様な時、或は又大體の極の位置からある現象を推定するといった様な場合には第 2 表程度のもので充分役に立つと信ずるのである。これらの第 3, 4 表の O-O をよく睨んで利用して頂きたいと思う。

最後に 1953.9 年までの計算値を利用させて頂き、途中の方法などに有益な注意を頂いた池田所長に御禮を申上げる。

地球と天體の磁場に関する討論會

地球や天體の持つている永久磁場の本體はいまだに解けない謎の一つとして残されているが、最近理論や觀測技術の進歩につれて、この謎の解かれる日も近いような希望が少しほ見てきた。昨年の 12 月 1 日に東大地球物理學教室において、永田武氏主催中武夫氏座長でこの問題に關する討論會が開かれ、永田武（東大理）、萩原雄祐（東京天文臺）、大澤清輝（東京天文臺）、竹内均（東大理）、力武常次（震研）の諸氏がそれ専門の立場から講演を行ない、活潑な討論が行なわれて非常に有意義であつた。以下にその講演の主旨だけを出来るだけくださいてお傳えするが、文責はすべて編集者にある。

地球の磁場をはじめて解析したガウス以来のデータをしらべることによつて、最近 200 年間の磁場の永久的變化を知ることができる。また地層の中に埋めこまれた砂鐵をしらべれば、もとと昔の地磁氣の向きを知ることができる。一言にして言えば、地磁氣はそうひどい變化はしていないらしい。また地磁氣の磁場は地球の中心に小さな棒磁石又はコイルを置いたと假定した場合の磁場と同じである。實際に地球の中心にそういうものがあるという意味ではなくて、磁場の形式がそれと同形式だといふのである。つまり地球の磁場は近似的に双極磁場 (dipole field) なのである。近似的度を高めれば、1 つの双極磁場の他に、小さな十數個の局地的双極磁場をくつづけて、その和によつて地磁氣を表現することもできる。

地球以外の天體の磁場の研究は、Hale の太陽磁場

の發見に始まり、1945 年 Babcock による 78 Vir 星の磁場の發見、つづいて 1947 年には磁場が周期的に變化する星が發見された。星のスペクトル線のゼーマン効果の測定は技術的に難かしい仕事で、1000 ガウス以上の磁場でなければ測ることはできない。太陽は明るいから、スペクトルの分散度を上げることはできるが、磁場が非常に小さいからこれまた困難である。最近は偏光學を應用した巧妙な方法によつて太陽磁場が測れるようになつたが、1951 年 Kiepenheuer の觀測によれば 0.6 ガウス以下であつたという。1945 年までは 55 ガウスもあつたのに、4 年間の間にどうして小さくなつてしまつたのだろうか。前の觀測は間違いだつたのか、それとも太陽の磁場は variable なのであろうか。この問題に對する答えは近い中に得られるであろう。

恒星の場合は、磁場が非常に強くて確實に測れるような星の結果しか發表されていないだろうから、太陽磁場に關する古いデータよりは信用することができそうに思われる。また星の磁場が周期的に變り得ることは Schwarzschild が理論的に證明した。星は迴轉椭圓體的な脈動をしているのである。ふつうの Cepheid 變光星は radial な脈動をするが、磁場の變る星の脈動は non-radial であつて、その周期は radial な脈動の周期よりも長い。

Schwarzschild の理論は非常に簡略化したモデルを取扱つているが、その結果は觀測事實と定性的に一致しており、一應の成功であつたと言わなければならぬ。然しこの理論は星の磁場の變化分だけを説明したのであつて、その親の磁場の存在についてはただ假定

しただけなのである。つまり變化する星の磁場は磁力線に沿つて傳播する magneto-hydrodynamic wave の定常波にすぎないのである。

そこで問題はいよいよ磁場の本體になる。恒星は電氣傳導度が大きいから、一度磁場を與えておけば 100 億年ぐらには減衰しない筈であるが、地球のような場合には傳導度も小さいし形も小さいから、とても億年とはもたない。永久磁石などはとても考えることができないから、どうしても電流を持つてこなければならない。

定常的な磁場を作るためには定常的な電流が必要であり、そのためには又定常的な起電力が必要である。起電力としてふつう我々の知つているものは、化學的なものや熱力學的のものと、ダイナモ的なものとがあるが、天體に於て考えられるものはダイナモだけである。つまり磁場があつて、その中で導體（氣體でも液體でもよい）が運動をすれば起電力が生じ、従つて電

流が流れて磁場が出来るのである。この新しい磁場の中で又何か導體が運動すれば、さらに第3番目の磁場ができる。このやうな操作をくり返して、遂にはもとの親磁場と同じ向きの磁場が出来ることも可能なわけである。Elsasser や Bullard の提唱している地球の永久磁場の理論はこのような機構に基づいており、竹内均氏等はこれを數式化して、その一つの解を求めた。

地球は中心から半徑の中ほどまでは電氣傳導度の大きい液體であると考えられている。その外は傳導度がずっと小さないので殻によるシールド作用も大したことなく、力武氏の計算によれば周期 100 年以上の變化は容易に地球の表面までつきぬけて來ることができるという。

恒星は全部氣體で出來ているから内部運轉は惑星よりはずつと自由な筈であるが、それを力學的に意味づけようとする種々の困難が起るのではないかと想像される。

雑報

地球の自轉速度の變動 N. Stoyko が地球自轉速度に年周變化があることを發見したのは 1937 年であるが、その實在性については長い間疑問視されていたものである。併し其後次第に多くの時計の動きによつて證明されるに及んでその存在は疑う事が出來ぬものとなつた。

最近 Stoyko は從來の結果をまとめて自轉變動の最終値を決定した (B. II. No. 1 Série 3, 1951)。これにはベルリンの物理工學研究所 1935 年より 1945 年迄の材料、グリニヂ天文臺 1943 年より 1949 年迄、ハンブルグ海軍天文臺 1935 年より 1943 年迄、パリ天文臺 1934 年より 1937 年迄及び 1946 年より 1947 年迄、ボツダムの測地研究所 1938 年より 1944 年迄、ワシントン海軍天文臺 1934 年より 1937 年迄及び 1946 年より 1947 年迄、以上 6ヶ所の 30 個の水晶時計と 8 個の振子時計の運行が使用され、天文觀測から求められた時刻に對する修正 ΔT_s として

$$\Delta T_s = +0.^{\circ}05509 \sin \frac{2\pi}{365} (j + 307.1) \\ + 0.^{\circ}00577 \sin \frac{4\pi}{365} (j + 65.0)$$

j は 1 月 0 日からの日數である。

これによると自轉變動による最大修正は 6 月の始めの $+0.^{\circ}0604$ 、及び 11 月中旬の $-0.^{\circ}0504$ となる。

歩度は最大 $0.^{\circ}0011/\text{day}$ に達するので例えば周波數

で 10^{-8} を正確に表わすためにはこの影響を無視出来なくなる。

今後諸國の時計が益々精密化するにつれてこの變動の取扱を如何にするかが問題となつて來るであろう。

(虎尾)

アメリカ Aramay Map Service の禮文島日食整約結果 舊年末東京天文臺宛に届いた John A. O'Keefe 氏からの通信によれば、Wall camera を用いて行われた 1948 年 7 月 9 日の禮文島における金環日食の觀測整約結果（激備的報告）として現在迄に得られた數値は次の通りである。（觀測位置 $141^{\circ}3'$, $47.^{\circ}449\text{E}$, $45^{\circ}21'42.^{\prime\prime}130\text{N}$ ）

黃經の合 $2^{\text{h}}50^{\text{m}}32.861 \pm 0.^{\circ}820$
中心差（月から北へ測つた太陽までの距離）
 $+0.^{\circ}027 \pm 0.^{\circ}091$

半徑差（太陽 - 月） $-2.^{\circ}22 \pm 0.^{\circ}058$

これらの値は 55 個のビーズの測定に基いている。半徑差が大きいのは多分カメラの露出が不足であつたこと及び、實際の周縁の約 $2''$ 内側に當る假想の周縁を採用したことによるのであろう。そこで上のデータを露出適度であつた他の場所のものと比較することを望んでいる。

(高瀬)

太陽の爆發現象の分類法 太陽面に突如として起る彩層の爆發現象（フレア）は、スペクトロヘリオスコープによつて肉眼觀測をするのがふつうであり、世界中の共同觀測は主としてこれによつて行なわれて

Fast.	その生涯の 0.4 倍の時間よりも早く面積が極大に達するもの。
Slow.	その生涯の 0.4 倍の時間よりも遅く面積が極大に達するもの。
Flash.	強度が 1 又はそれ以下で、5 分間以下で終るもの。
Persistent.	2 時間以上にわたって異常に明るいもの。
Recurrent.	太陽面上の同じ場所で、2 週間の間にひきつづいて 5 回以上（方々の天文臺でならば 10 回以上）フレアが観測された場合。
Superflare.	強度 3+ 以上のもの。

以上の 6 種類である。面積を縦軸に、時間を横軸にとって圖をかけば、その曲線はさながら新星の光度曲線のように見えるといふ。（大澤）

アンタレスの形を掩蔽で観測 ふつうの恒星が月に掩蔽される時には、星の光は一瞬間で消え失せるがアンタレス、ミラ、ベテルギウスのような近距離の巨星だと、完全な點光源ではなくて、0."003 程度の角直径を持つているので、月の縁が星にかかつてから掩蔽し終るのに 0.05 秒ほどの時間がかかるのは當然である。従つて光電管を使つてこれを精密に記録すればその星の大きさや形についての何等かの情報が得られるはずである。

この方法をはじめて示唆したのは 40 年も昔の MacMahon という人であった。後に Whitford (Ap. J., 89, 47, 1939) が大仕掛けな増幅器とブラウン管とを使って Mt. Wilson の 100 小時で β Cap と ν Aqr との掩蔽を観測したが、はつきりした結果を得ることはできなかつた。

ところが 1950 年 6 月 27—28 日のアンタレスの掩蔽の際に、アフリカのブレトリアの Redcliffe 天文臺（74 小時反射鏡）で、Evans がこの観測を行い、幸い好天気に恵まれてよい記録を得ることができた。

結果の寫眞を見ると、星が月にかかつてから消え失せるのに 0.05 秒ぐらいかかつて、星像のシンチレーションによるギザギザがほとんど記録されていないのは望遠鏡の口径が大きいせいであろうか。

さて、その結果の意味づけであるが、Evans はアンタレスを球形と假定して種々の線邊減光度をあてはめて理論曲線を作つてゐるが、そのどれもが観測結果と一致しないといふ。アンタレス A が二重星（直徑 0."027 と 0."016 の二つが殆んど接觸している）のであると

すれば観測結果を説明することは可能であるが、それは天文學的にどうしても考えられない。もう一つの案としては、アンタレスが橢圓體であるという假説がある。橢圓體的な脈動をしていると考えればよいといふのである。しかし明らかな結論を下すにはもう少しこの種の観測をする必要があると思われる。（大澤）

木星の第 12 衛星 1 月號で新衛星と思われたものは木星の第 10 衛星であつた、と書いた新衛星發見に関するニュースは、その後到着した知らせを綜合するとやはり第 12 番目の衛星として確認された模様である。即ちこの新發見の天體の近くに第 6, 第 8, 第 10 衛星及び小惑星 Liliofee などが存在してまぎらわしかつたため確認が難しかつたのであるが、Mt. Wilson 天文臺の S. B. Nicholson 博士は同天文臺の 100 小時で撮つた寫眞から 4 個の位置を測定、間違いなく新衛星であろうと發表したのである。光度約 19 等、要素は次の通り。

Osculation	1951 Oct.	24.32946	U.T.
T	1952 Apr.	15.86905	U.T.
ω 318.°527		a 0. 139615	
ϑ 228. 047	1950.0	e 0. 134560	
i 147. 346		μ 0.°583793	

（竹内）

ウルシグラム放送開始

東京での民間放送開始とまたま日を同じくして日本のウルシグラム放送が始まった。ウルシグラムといふ名は、ウルシ (URSI), 即ち「國際電波科學連合」から出ている。即ち、無線通信異常（デリンジャー現象・磁氣嵐等）を豫報するための資料を放送するのであるが、一昨年の國際會議で、フランス、アメリカ及び日本の三國からそれぞれ放送することに決つたのである。現在、既にフランスでは始められており、今回の我國の參加は世界中で歓迎されている。放送される資料は、東京天文臺から、太陽面現象、太陽電波、及び乘鞍コロナ觀測所のコロナ、柿岡地磁氣觀測所から地磁氣、中央電波觀測所から電離層、科學研究所から宇宙線を、都下國分寺にある中央電波觀測所に集め、國際的な暗號で電線電信で放送されるのである。我國でのウルシグラムの開始については、日本學術會議の電波科學研究連絡委員會が世話をし、文部省科學研究費による電離層研究連絡委員會で過去 6 年間にわたつて研究した成果によるものである。なお放送時刻（日本標準時）と周波數は次のとおり。

0 時	8000kc
8 時 30 分	9175 kc
21 時	8000 kc

★東京天文臺

International Astronomical Union では “天文學者交換” という仕事もやつているが、末元善三郎氏は日本からのその第 1 號としてイギリスに渡ることになつた。船の都合さえつけば 1 月 20 日頃横濱を出帆、マルセーユに上陸してフランス經由 2 月末にはケンブリッジ大學の天文臺に到着の豫定である。半年ほど太陽スペクトルの研究をした後、ヨーロッパ各地の天文臺を見學していくこと、その成果が期待されている。

★乗鞍コロナ觀測所

本年は雪が例年より一ヶ月も早く降り、槍穂高の雪線は遙か山麓迄延びているのが望見され、觀測所周囲も鋸の歯の様な氷で覆われ、近くで見られる動物は年々少くなつて行く雷鳥のみである。降雪が早かつたので多眠準備の運れた熊がいるらしく、先月の 11 日に所員の一人も出會つた。然し兩方で驚いて逃げ別れたというから若い所員が心配する程の事もないと思う。

年々觀測所も住めば都となつて行き、ドームの防雪が良くなつて、觀測室の雪掻きに時間を費す事も少くなつて、猫の目より變化の早い高山氣象の合間の貴重な時間を充分利用し得るようになつた。觀測途中シーラスがかかり所員を殘念がらせる事もあるが、光電管の配線の漏電の心配も改良され觀測日數も増加した。

觀測が圓滑に行なわれていてもこの間通信技術士はアンテナの氷落し、ガス立混めるエンヂン室での發電機調整等で忙しい。空中狀態悪く混信で電文了解出来ない時は特に大變である。然しデーターを電文に組み、三鷹に無事送つた後の所員は一日の苦勞も一杯の紅茶で飛んでしまう位嬉しい。天氣が良く仕事が無事済んだ日には太陽が御苦勞さんと云わぬばかりにアルプスをバラ色に染め綺麗な夕焼けを見せて與れる日が多い。

天氣豫報で明朝の天氣に氣を配り、高低氣壓、前線の通過で一喜一憂し日本の屋根で狭い本土が痛感されつつ自稱フォアキスター達の豫報談議が時には仲々終らない。

地元の安曇村役場からの正月の慰問品も三人の吏員



が例年の如く長いラッセル困難なスキーチャーの後を持つて來られ下界にいるよりも楽しい感謝の新年を迎える事ができた。

(野島)

★仙臺支部

みちのくなんて云うと知らぬ方々は寒い冬に雪と氷にとざされた東北のことなんかまづびらだとお思いかも知れぬが今年の冬はいやすくて下手にコタツにあたろうものなら足の腐りそ

うな氣違ひ陽氣一氣の早いのは暫く御來訪のなかつた三陸の津波や地震でもありはせぬかと氣をもむ始末である。

天文學教室とは云つても天を眺める道具と云えば 7 cm トランシットしかなく理學部が理科大學と云つた當時からの赤道儀は格納庫だけ淋しく残り、故 M 教授御自慢の日本光學製 30 cm シーロスタット、セオドライト共に戦災を受けて跡方もない。八木山を散索されては天文臺敷地を物色して居られた御遺志の實現は何時の日か。とまれ新進氣鋭の當主 H 教授は最近はケフェイドのなぞと取組んで日夜思索に餘念がないが、時に寸暇をさき市民講座で造詣の一端を公開される。

尤も今年は初めて天文専攻の學生をとつたので、實地天文學の用意をせねばならず、時報受信器、時計、クロノグラフなど整備し、現在 10 時反射鏡を發註中であるから活躍する日が待たれる。

市の西北端、火葬場の裏手科學計測研究所には Y 氏がレンズ仕事に浮身をやつしている。近頃は非球面レンズとやらの收差計算には、8, 9 枚の對數表でなければ間に合わぬと、買い出し袋を背に江戸まで借出しに岡かけ。又奥羽六縣に足を伸し、講演に寧日なき有様だ。

町では前記 Y 氏、市井の A 君、地震屋の O 君らが CIE 圖書館に集つて同好會をやつている。40 名足らずの會員だがどれもこれも上の空で、中にはぼろ自轉車を乗り廻す町醫者あり、醜だが熱心は人一倍という職工ありで、多士濟々だが之も支部の發展と共に追々軌道にのつて来るだろう。變り者揃いで抛物線でないと具合悪いなんてことにならぬよう祈つて塞蛙はこの邊で一眠りしよう。 (MA 生)

會員諸氏の太陽黒點観測報告 (1951年9~11月)

観測者	器械	観測日数	k	観測者	器械	観測日数	k	1951	会員ウオルフ黒點数日別平均値			東京天文臺日別ウオルフ黒點数				
									月	日	IX	X	XI	IX	X	XI
草地重次	42屈 直	54	1.6	野田 博	40屈	65	1.7				67	66	107	68	45	90
堂本義雄	150屈 "	50	1.0	坂井譽志男		20	2.5				73	75	97	69	62	—
高橋顯士	58 "	13	1.3	西村史朗	40屈 直	76	1.1		1		175	86	78	91	68	58
品田榮雄	42 "	69	1.7	井上和信	40 "	57	1.7		2		100	78	89	78	—	63
信本利彦	42 "	29	1.7	大阪明星學園	150反 "	17	2.1		3		117	55	89	83	65	—
盛岡一高	100反 "	59	1.5						4		128	34	110	120	25	—
武藏高校(1)	80屈 投	31	1.1	平井謙一	100 " 投	40	1.5		5		26	61	115	25	50	—
長谷川敏	110 "	24	1.5	豊澤良行	80 " 直	13	2.1		6		112	122	21	76	145	74
渡辺好章				横藤茂昭	30屈 "	13	2.3		7		168	65	79	—	—	106
近藤信弘	75 " 直	58	1.3	福野中學(4)	58 " "	47	1.5		8		161	100	109	138	97	96
石澤和彦	42 " 投	33	1.7	市川一郎	100反 投	20	0.9		9		156	115	110	—	103	91
屋田 博	30 " 直	36	1.9	星野次郎		54	1.9		10		173	143	88	159	162	—
立川高校(2)	100屈 投	51	1.0	石橋 澄		69	1.9		11		170	109	74	—	110	70
達形長司	36 " 直	58	1.9	桑野善之	54屈 投	34	1.4		12		168	62	85	166	—	61
河原郁夫	40 " "	38	2.2	栗原恒恭	40 "	16	2.2		13		191	75	55	—	60	67
誠訪清陵(3)	75 " 投	63	2.1	佐治達也	40屈 直	24	1.1		14		200	79	65	—	69	96
高 校									15		169	82	58	134	78	72
信州大學		27	2.0						16		169	86	81	139	78	108
(1) 荒井, 岡田, 松葉谷, 戸塚, 貞峰, 源鬱, 北川, 三井									17		197	119	90	—	101	79
(2) 戸田, 寺沼, 保坂, 戸張, 薄井, 中原, 馬場, 田中, 中村, 小林									18		168	97	89	167	98	104
(3) 河西彌一, 兩角庄二郎, 山田, 加藤									19		162	63	71	158	—	57
(4) 斎藤義弘									20		178	51	72	138	49	68
									21		174	24	96	139	—	76
									22		146	7	87	141	15	—
									23		141	22	120	—	41	88
									24		113	38	115	—	68	89
									25		95	66	114	96	74	84
									26		94	89	106	89	—	74
									27		43	122	137	47	—	92
									28		46	114	85	38	—	144
									29	*	123	*	*	108	*	
								平均	135.9	73.9	90.1	116.0	70.9	81.6		

◎黒點観測報告は毎月10日頃までにお送り下さい。氏名、住所、使用器械及び観測方法等を明記のこと。

◎初めての黒點観測報告者以外の方のスケッチは本年1月分より受付を中止致しますから御諒承下さい。

NORMA 電磁時計

学校及びアマチュア
観測家に最適

特長

★0.5秒までの精度があります★インバースチャーブ振子率を使用して温度誤差なし★センマイを使わないので動力による誤差なし★使用乾電池は一年保ち取換えは簡単★秒時の記録又は音響を出す配線が出来ます

價格

大理石付 ￥5,500.00

木版 ￥4,500.00

20×40×8 cm

東京都武藏野市境895
株式会社新陽舎

電話 境21 振替東京42610

五藤式天體望遠鏡

本邦唯一の天體望遠鏡専門メーカー

大正15年創業
戦後特許十数件

最近事業の一部

★20cm 太陽観測用シリスタックト
(アメリカ地學協会日食観測隊納入)

★15cm 扇折赤道儀
(旭川市他数市納入)

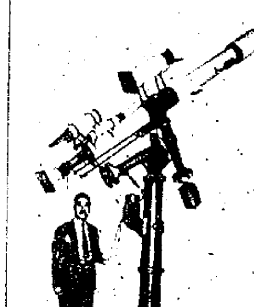
★其他文部省購入幹旋品として全國大中小學校へ供給

東京 世田谷 新町1の115

五藤光學研究所

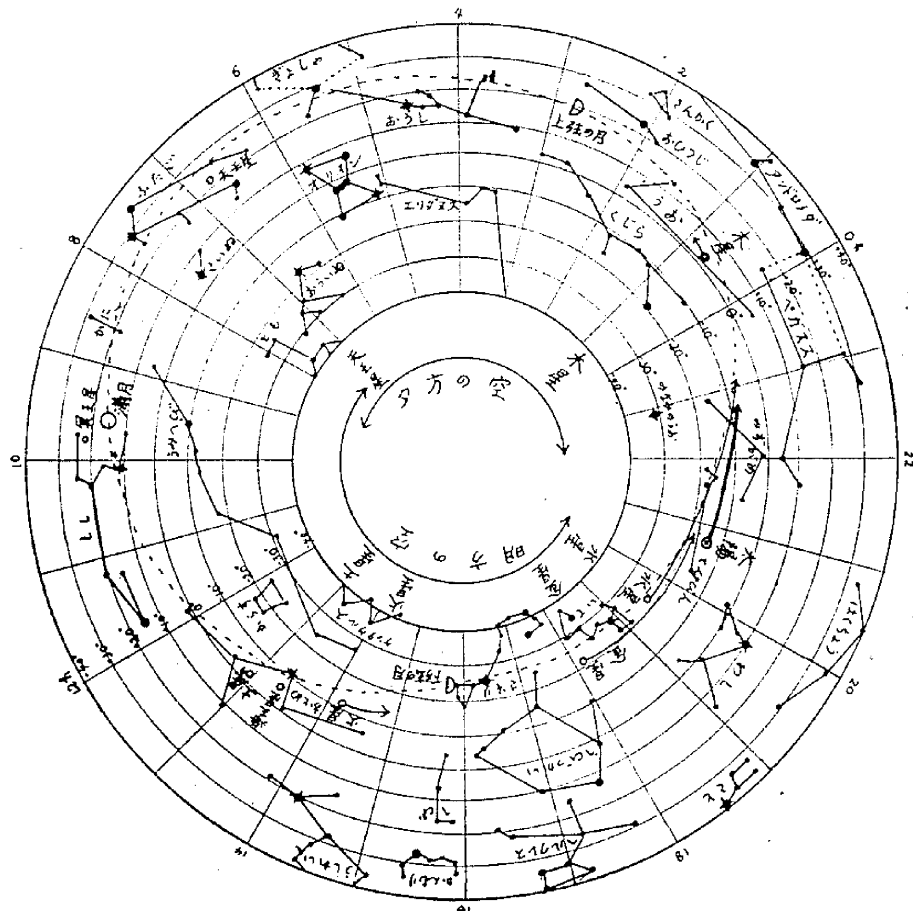
東急玉川線駒澤駅前

電話(42)4320番



旭川市天文臺納入
15センチ扇折望遠鏡
(回轉式ドーム共)

☆2月の天象☆



太陽 世界時0時

II月	赤經	赤緯	黄經	視半徑
8日	21 22.4	-15° 23'	318° 10'	16' 15''
18	21 1.8	-12 5	328 17	16 13
28	22 39.9	-8 27	338 21	16 10

月相	日	時	分	日	時	分
上弦	3	5	1	下弦	19	3
望	11	9	28	朔	25	18 16

惑星現象

II月 10日 11時 寅王星衝

22 12 水星外合

日出日入及南中(東京) 中央標準時

II月	出	入	方位角	南中	南中高度
5日	6 39	17 11	-19.5°	11 55.0	38° 6'
15	6 30	17 22	-15.5	11 55.3	41 18
25	6 18	17 31	-11.1	11 54.4	44 51

昭和27年1月20日 印刷 発行

定價 30圓(送料4圓) 地方費價 33圓

編輯兼發行人 東京都三鷹市東京天文臺内
 印刷所 東京都港區芝南佐久間町一ノ五三
 發行所 東京都三鷹市東京天文臺内

廣瀬秀雄
 笠井出版印刷
 社團法人日本天文學
 振替口座東京13595

2月 25日 (日本時刻) 太西洋、アフリカ、中央アジアを通る皆既日食があるが、日本からは全然見られない。また2月 11日には食分僅か0.1部分月食があるがこれも日本からは見られない。